

посредством рентг. излучение и могут работать в качестве спектрометров, характеризующихся очень высокой светосилой, но сравнительно небольшим спектральным разрешением (для пропорц. счётика $\Delta\theta/\theta \approx 10^{-1}$, для полупроводникового детектора $\Delta\theta/\theta \approx 10^{-2}$); они применяются в рентгеновском спектральном анализе.

Рентгеновские спектрометры, выпускаемые пром-стью и предназначенные для рентгеновского спектрального анализа, разделяются на простые (одноканальные), регистрирующие узкий участок спектра, в к-ром находится аналитич. линия определ. элемента, двухканальные и многоканальные (квантметры). Т. н. микроанализаторы позволяют производить локальный спектральный анализ; в них обеспечена возможность либо непрерывного изменения частоты излучения, направлённого в определ. точку образца, либо сканирования излучения определ. частоты вдоль одного пространственного направления образца. Возбуждение первичного рентг. излучения образца в микроанализаторах осуществляется электронным пучком (зондом) диаметром ок. 1 мкм, а разложение излучения в спектр — светоильными спектрометрами с изогнутыми кристаллами или вогнутыми дифракц. решётками, а также бескристаллическими спектрометрами с полупроводниковыми детекторами рентг. излучения. Анализ регистрируемого излучения (рентгеноспектральный электронно-зондовый микроанализ, пер. с англ., М., 1979; Рентгенотехника. Справочник, кн. 1—2, М., 1980; Лосев Н. Ф., Смагунов А. Н. Основы рентгеноспектрального флуоресцентного анализа, М., 1982; Рентгеновская спектроскопия многозарядных ионов, М., 1988; Рентгонофлуоресцентный анализ, под ред. Н. Ф. Лосева, Новосиб., 1991).

Лит.: Блохин М. А., Методы рентгено-спектральных исследований, М., 1959; Плотников Р. И., Пшеничный Г. А., Флюоресцентный рентгенорадиометрический анализ, М., 1973; Рид С. Д. ж. В., Электронно-зондовый микроанализ, пер. с англ., М., 1979; Рентгенотехника. Справочник, кн. 1—2, М., 1980; Лосев Н. Ф., Смагунов А. Н. Основы рентгеноспектрального флуоресцентного анализа, М., 1982; Рентгеновская спектроскопия многозарядных ионов, М., 1988; Рентгонофлуоресцентный анализ, под ред. Н. Ф. Лосева, Новосиб., 1991.

РЕНТГЕНОВСКАЯ СПЕКТРОСКОПИЯ — см. Спектроскопия рентгеновская.

РЕНТГЕНОВСКАЯ ТОМОГРАФИЯ — метод послойного исследования структуры неоднородных объектов в рентг. излучении, основанный на зависимости линейного коэф. поглощения μ в рентг. диапазоне от состава и плотности вещества; один из методов вычисл. томографии.

Классич. схема этого метода, впервые предложенная в медицинской рентгенографии для повышения контраста теневых изображений внутр. органов, приведена на рис. 1. При фиксированном положении источника излучения S на фотоплёнке образуется теневое изображение, являющееся суммой проекций всех слоёв объекта O , через к-рые проходит пучок. Если в процессе съёмки синхронно перемещать источник и фотоплёнку (или источник и объект, объект и фотоплёнку) так, чтобы пучок проходил в процессе экспозиции только через один и тот же участок объекта в слое F , то изображение I этого участка получится наиб. чётким, изображения др. участков окажутся «размытыми». Этот метод не позволяет полностью избавиться от наложения проекций др. участков на исследуемый; кроме того, длительность экспонирования, повышающая контраст для живых организмов ограничена допустимыми дозами облучения.

Рис. 1. Классическая схема рентгеновской томографии.

В основе совр. методов Р. т. лежит др. подход: они базируются на применении мощных вычисл. методов обработки данных, получаемых томографич. сканированием, один из вариантов к-рого приведён на рис. 2. Узкий пучок рентг. излучения от источника S , сформированный коллиматором K , просвечивает объект O ,

после чего регистрируется детектором D . При синхронном перемещении источника и детектора вдоль нек-рого направления x осуществляется последоват. сканирование всех участков объекта, причём связь зарегистрированной детектором интенсивности излучения I с линейным коэф. поглощения μ среды объекта имеет вид интегрального ур-ния:

$$I(x) = I_0 \exp \left[- \int_l \mu(x, l) dl \right],$$

где I_0 — интенсивность падающего пучка, dl — элемент пути поглощения вдоль луча l , соответствующего направлению сканирования. Измерения повторяются для неск. направлений сканирования относительно объекта. Для ускорения съёмки применяют неск. источников или перемещающийся источник с расходящимся «веерным» пучком, распределение интенсивности в к-ром измеряется двумерным координатно-чувствительным детектором (рис. 3). Для восстановления распределения μ , а следовательно, плотности μ

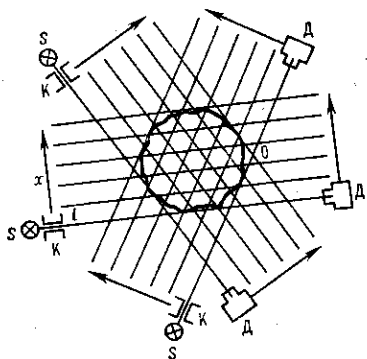


Рис. 2. Схема сканирующего томографа.

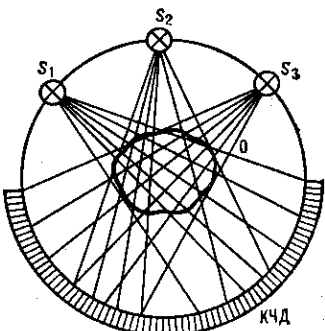


Рис. 3. Схема рентгеновского томографа с неск. источниками (S_1, S_2, S_3) и координатно-чувствительным детектором (КЧД).

состава вещества по объёму объекта используют спец. алгоритмы обработки данных на ЭВМ. Синтезируя далее картину распределения плотности тканей объекта в разл. сечениях, можно установить границы здоровых и поражённых участков, напр. при исследованиях опухолей мозга, патологич. изменениях сердца, сосудов, поражениях костной ткани и в др. случаях, когда прямая диагностика затруднена или вообще невозможна.

Методы Р. т. используются также в технике неразрушающей дефектоскопии конструкц. материалов, электрич. кабелей, механич. узлов, испытывающих большие нагрузки (напр., лопаток турбин авиац. двигателей),